




---

---

---

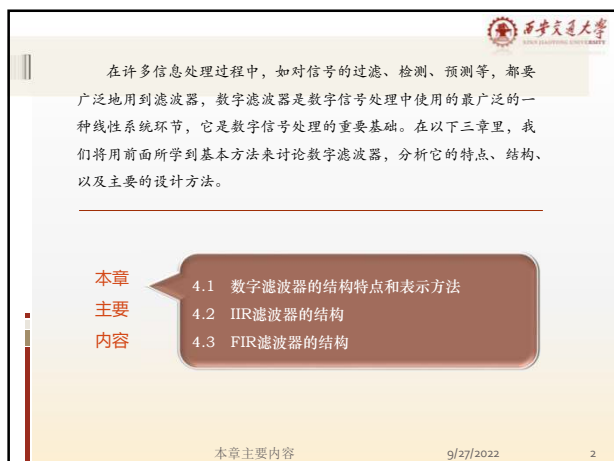
---

---

---

---

---




---

---

---

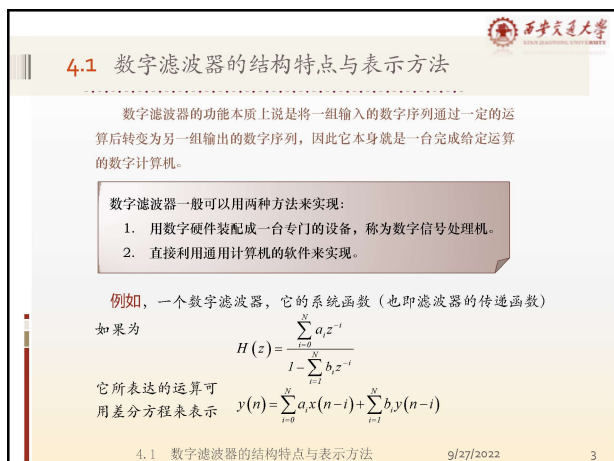
---

---

---

---

---




---

---

---

---

---

---

---

---

这个运算可以用图3.1所示的专用设备来实现。

这个设备是由输入输出延时部分、系数 $a_i$ 、 $b_i$ 存储器、运算器及控制器组成。

每一部分都可以用数字硬件来构成，这就是一台硬件结构的数字滤波器。

图3.1 硬件结构数字滤波器

4.1 数字滤波器的结构特点与表示方法 9/27/2022 4

---

---

---

---

---

---

---

---

---

---

同样这个运算也可以在通用计算机上实现。

以一阶数字滤波器为例：

$$y(n) = a_0 x(n) + a_1 x(n-1) + b_1 y(n-1)$$

只要按照右图的流程图编成程序，就可以让一台通用计算机来完成这个运算。

一个数字网络可以用差分方程表示，也可以用单位脉冲响应表示，或者用系统函数来表示。

对于研究这个系统的实现方法（即它的运算结构）来说，用**方块结构图**最直接。

图3.3 一阶数字滤波器的方块结构图

4.1 数字滤波器的结构特点与表示方法 9/27/2022 5

---

---

---

---

---

---

---

---

---

---

图3.3所示的一阶数字滤波器的结构可以用信号流图表达为一个6节点的简单图。节点上的信号值称为**节点变量或节点状态**，图中所示的六个节点状态分别是：

- ①  $x(n)$
- ②  $x(n-1)$
- ③  $y(n-1)$
- ④  $a_1 x(n-1) + b_1 y(n-1)$
- ⑤  $a_0 x(n) + [a_1 x(n-1) + b_1 y(n-1)] = y(n)$
- ⑥ ③

图3.4 运算过程的信号流图表示

可以看到，用信号流图表达数字网络的结构可以更简洁，我们在下面将普遍采用信号流图的办法来分析数字滤波器的结构。

运算结构的不同将会影响系统的精度、误差、稳定性、经济性以及运算速度等许多重要的性能。对于无限长单位脉冲响应(IIR)滤波器与有限长单位脉冲响应(FIR)滤波器，它们在结构上各自有自己不同的特点，下面将对它们分别加以讨论。

4.1 数字滤波器的结构特点与表示方法 9/27/2022 6

---

---

---

---

---

---

---

---

---

---

## 4.2 IIR滤波器的结构

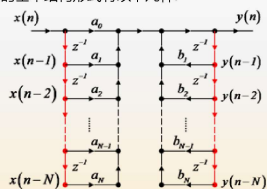
IIR滤波器的传递函数  $H(z)$  在有限  $z$  平面上有极点存在。它的单位脉冲响应  $h(n)$  延续到无限长，而它的结构上的特性是存在反馈环路，也即结构上是递归型的。

具体实现起来，结构并不是唯一的。同一个传递函数  $H(z)$ ，可以有各种不同的结构形式，其中主要的基本结构形式有以下几种：

## (1) 直接型

一个  $N$  阶 IIR 滤波器的传递函数可以表达为

$$H(z) = \frac{\sum_{i=0}^N a_i z^{-i}}{1 - \sum_{i=1}^N b_i z^{-i}} \quad (3-1)$$



4.2 IIR滤波器的特点

9/27/2022

7

用差分方程可以表达为

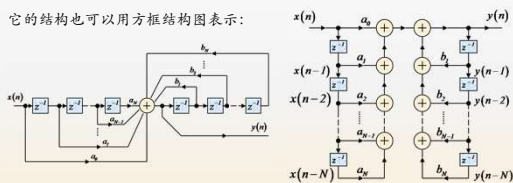
$$y(n) = \sum_{i=0}^N a_i x(n-i) + \sum_{i=1}^N b_i y(n-i) \quad (3-2)$$

从这个差分方程可以看出， $y(n)$  是由两部分相加构成：

是一个对输入  $x(n)$  的  $N$  节延时链结构，每节延时抽头后加权相加，也即是一个横向网络结构。

也是一个  $N$  节延时链的横向网络结构，不过它是对  $y(n)$  延时，因此是个反馈结构。

它的结构也可以用方框结构图表示：



从图中我们可以看到，直接型结构需要  $2N$  级延时单元。

4.2 IIR滤波器的特点

9/27/2022

8

## (2) 正准型

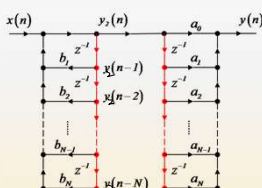
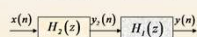
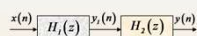
上面直接型结构中的两部分也可分别看作是两个独立的网络，

第一部分传递函数 $H_1(z) = \sum_{i=0}^N a_i z^{-i}$	第二部分传递函数 $H_2(z) = \frac{1}{1 - \sum_{i=1}^N b_i z^{-i}}$
差分方程 $y_1(n) = \sum_{i=0}^N a_i x(n-i)$	差分方程 $y_2(n) = \sum_{i=1}^N b_i y_2(n-i) + y_1(n)$

这两部分串联后即构成总的传递函数： $H(z) = H_1(z)H_2(z)$

由于系统是线性的，显然将级联的次序调换不会影响总的结果。即

$$H(z) = H_2(z)H_1(z)$$



4.2 IIR滤波器的特点

9/27/2022

9

即信号先经过反馈网络  $H_2(z)$ ，其输出为中间变量  $y_2(n)$

$$H_2(z) = \frac{1}{1 - \sum_{i=1}^N b_i z^{-i}} \quad y_2(n) = \sum_{i=1}^N b_i y_2(n-i) + x(n)$$

再将  $y_2(n)$  通过直馈网络  $H_1(z)$ ，就得到系统的最后输出  $y(n)$

$$H_1(z) = \sum_{i=0}^N a_i z^{-i} \quad y(n) = \sum_{i=0}^N a_i y_2(n-i)$$

改变级联次序后，将中间的两条完全相同的延时链合并。这样延时单元可以节省一倍，即N阶滤波器只需要N级延时单元。这种结构称为**正准型结构**或**直接II型结构**，而把直接型称为**直接I型**。

4.2 IIR滤波器的特点 9/27/2022 10

---

---

---

---

---

---

---

---

(3) 级联型

一个N阶的传递函数也可以用它的零、极点来表示，也即它的分子、分母都表达为因子形式

$$H(z) = \frac{\sum_{i=0}^N a_i z^{-i}}{1 - \sum_{i=1}^N b_i z^{-i}} = A \frac{\prod_{i=1}^N (1 - c_i z^{-1})}{\prod_{i=1}^N (1 - d_i z^{-1})} \quad (3-3)$$

由于  $H(z)$  的系数  $a_i, b_i$  都是实系数，因此零极点  $c_i, d_i$  只有两种情况：或者是实根，或者是共轭复根。即

$$H(z) = A \frac{\prod_{i=1}^{M_1} (1 - g_i z^{-1}) \prod_{i=1}^{M_2} (1 - h_i z^{-1})(1 - h_i^* z^{-1})}{\prod_{i=1}^{N_1} (1 - p_i z^{-1}) \prod_{i=1}^{N_2} (1 - q_i z^{-1})(1 - q_i^* z^{-1})}$$

式中  $g_i, p_i$  表示实根； $h_i, q_i$  表示复根，并且  $N_1 + 2N_2 = N, M_1 + 2M_2 = N$

4.2 IIR滤波器的特点 9/27/2022 11

---

---

---

---

---

---

---

---

再将每一对共轭因子合并起来构成一个实系数的二阶因子，则

$$H(z) = A \frac{\prod_{i=1}^{M_1} (1 - g_i z^{-1}) \prod_{i=1}^{M_2} (1 + \alpha_{2i} z^{-1} + \alpha_{2i} z^{-2})}{\prod_{i=1}^{N_1} (1 - p_i z^{-1}) \prod_{i=1}^{N_2} (1 - \beta_{2i} z^{-1} - \beta_{2i} z^{-2})}$$

如果把实根因子也看作是二阶因子的一个特例：即二次项系数 ( $\alpha_{2i}$  或  $\beta_{2i}$ ) 等于零的二阶因子，则整个函数  $H(z)$  可以完全分解成实系数二阶因子的形式

$$H(z) = A \prod_{i=1}^M \frac{1 + \alpha_{2i} z^{-1} + \alpha_{2i} z^{-2}}{1 - \beta_{2i} z^{-1} - \beta_{2i} z^{-2}} \quad (3-4)$$

这样滤波器就可以用若干二阶网络级联起来构成，这些二阶网络也成为滤波器的二阶基本节。它的传递函数的一般形式为

$$H_i(z) = \frac{1 + \alpha_{2i} z^{-1} + \alpha_{2i} z^{-2}}{1 - \beta_{2i} z^{-1} - \beta_{2i} z^{-2}}$$

这样一个二阶基本节可以采用直接II型结构来实现，整个滤波器则是他们的级联。

$$H(z) = A \prod_{i=1}^M H_i(z)$$

4.2 IIR滤波器的特点 9/27/2022 12

---

---

---

---

---

---

---

---

整个结构如图

(4) 并联型

将传递函数展开成部分分式就可以用并联的方式构成滤波器。

$$H(z) = \frac{\sum_{i=0}^N a_i z^{-i}}{1 - \sum_{i=1}^N b_i z^{-i}} = A_0 + \sum_{i=1}^N \frac{A_i}{1 - d_i z^{-i}}$$

对于其中的共轭复根部分，再将它们成对地合并为二阶实系数的部分分式，则

$$H(z) = A_0 + \sum_{i=1}^L \frac{A_i}{1 - p_i z^{-i}} + \sum_{i=1}^M \frac{B_i (1 - D_i z^{-i})}{(1 - d_i z^{-i})(1 - d_i^* z^{-i})} \quad \text{其中 } N = L + 2M$$

$$= A_0 + \sum_{i=1}^L \frac{A_i}{1 - p_i z^{-i}} + \sum_{i=1}^M \frac{\gamma_{0i} + \gamma_{1i} z^{-i}}{1 - \beta_{1i} z^{-i} - \beta_{2i} z^{-2}} \quad (3-5)$$

4.2 IIR滤波器的特点 9/27/2022 13

---

---

---

---

---

---

---

---

---

---

这样就可以用L个一阶网络、M个二阶网络、以及一个常数 $A_0$ 网络并联起来组成滤波器 $H(z)$ ，其结构如右图所示。

当然也可以全部采用二阶节的结构，这时可将式(3-5)中实根部分两两合并以形成二阶分式。

**IIR滤波器的几种结构形式的性能**

- 直接型(直接I型): 需要 $2N$ 级延时单元。
- 正准型(直接II型): 只需要 $N$ 级延时单元，节省资源。

直接(I,II)型在实现原理上是类似的，都是直接一次构成。共同的缺点是，系数 $a, b$ 对滤波器性能的控制关系不直接，调整不方便。更严重的是当阶数 $N$ 较高时，直接型结构的极点位置灵敏度太高，对字长效应太明显，因而容易出现不稳定现象并产生较大误差。因此一般来说，采用另两种结构将具有更大的优越性。

4.2 IIR滤波器的特点 9/27/2022 14

---

---

---

---

---

---

---

---

---

---

**级联型:**

每一个基本节只关系到滤波器的某一对极点和一对零点，便于准确实现滤波器的零、极点，也便于性能调整。

级联结构可以由许多不同的搭配方式，在实际工作中，由于运算字长效应的影响，不同排列所得到的误差和性能也不一样。

**并联型:**

可以单独调整极点位置，但不能直接控制零点。在运算误差方面，并联型各基本节的误差互不影响，所以比级联型总的说，误差要稍小一些。

因此当要求有准确的传输零点时，采用级联型最合适，其他情况下这两种结构性能差不多，或许采用并联型稍好一点。

4.2 IIR滤波器的特点 9/27/2022 15

---

---

---

---

---

---

---

---

---

---

### 4.3 FIR滤波器的结构

有限长单位脉冲响应(FIR)滤波器的特点是它的 $h(n)$ 是一个有限长序列，例如长度为 $N$ 。因此它的传递函数一般具有如下形式

$$H(z) = \sum_{n=0}^{N-1} h(n)z^{-n} \quad (3-6)$$

FIR滤波器具有以下几种基本结构形式。

#### (1) 横截型

将式(3-6)直接用差分方程表达

$$y(n) = \sum_{i=0}^{N-1} h(i)x(n-i) \quad (3-7)$$

很明显，这就是一条输入 $x(n]$ 时链的横向结构，如图3.12所示，稍加改变也可形成图3.13的结构。

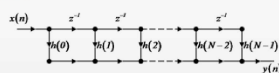


图3.12 FIR滤波器横截型结构之一

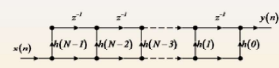


图3.13 FIR滤波器横截型结构之二

横截型的差分方程式(3-7)  $y(n) = \sum_{i=0}^{N-1} h(i)x(n-i)$

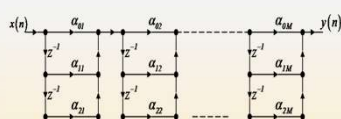
也就是信号的卷积形式，因此横截型结构也可称为卷积型结构，有时也称为FIR直接型。

#### (2) 级联型

当需要控制滤波器的传输零点时，可将传递函数分解为二阶实系数因子的形式：

$$H(z) = \sum_{n=0}^{N-1} h(n)z^{-n} = \prod_{i=1}^M (\alpha_{0i} + \alpha_{1i}z^{-1} + \alpha_{2i}z^{-2}) \quad (3-8)$$

这样就可以用二阶级联起来构成，如下图



这种结构的每一节控制一对零点，因而在需要控制传输零点时可以采用。但它所需要的系数 $\alpha$ 比直接型的 $h(n)$ 多，运算时所需的乘法运算也比直接型多。

#### (3) 频率采样型

我们在前面讨论了有限长序列可以进行频域采样。现在既然 $h(n)$ 是长度为 $N$ 的序列，因此也可以对传递函数 $H(z)$ 在单位圆上作 $N$ 等分采样，这个采样值也就是 $h(n)$ 的离散傅里叶变换值 $H(k)$

$$H(k) = H(z)|_{z=W_N^{-k}} = DFT[h(n)]$$

用频率采样表达 $z$ 函数的内插公式(2-51)：

$$H(z) = (1 - z^{-N}) \sum_{k=0}^{N-1} \frac{H(k)}{1 - W_N^{-k} z^{-1}} \quad (3-9)$$

这个公式为我们实现FIR滤波器提供了另外一种结构，这种结构是由两部分级联而成

$$H(z) = \frac{1}{N} (1 - z^{-N}) \sum_{k=0}^{N-1} \frac{H(k)}{1 - W_N^{-k} z^{-1}} = \frac{1}{N} H_c(z) \left[ \sum_{k=0}^{N-1} H_k(z) \right] \quad (3-10)$$

下来分两部分讨论。

• 第一部分  $H_c(z)$  是一个由N节延时单元所构成的梳状滤波器:

$$H_c(z) = 1 - z^{-N} \quad (3-11)$$

它在单位圆上有N个等分的零点:  $1 - z^{-N} = 0$

$$z_i = e^{j\frac{2\pi}{N}i} = W_N^{-i}, \quad i = 0, 1, \dots, N-1$$

它的频响是梳齿状的, 如图所示

$$H_c(e^{j\omega}) = 1 - e^{-jN\omega}$$

$$|H_c(e^{j\omega})| = 2 \left| \sin\left(\frac{N}{2}\omega\right) \right|$$

4.3 FIR滤波器的结构 9/27/2022 19

---

---

---

---

---

---

---

---

• 第二部分是一组并联的一阶网络:  $\sum_{k=0}^{N-1} H_k(z)$

其中每一个一阶网络都是一个谐振器, 构成一个谐振器柜:

$$H_k(z) = \frac{H(k)}{1 - W_N^{-k} z^{-1}} \quad (3-12)$$

这个一阶网络在单位圆上有一个极点:  $z_k = W_N^{-k} = e^{j\frac{2\pi}{N}k}$

因此网络对频率为  $\omega = \frac{2\pi}{N}k$  的响应将是 $\infty$ , 所以, 网络是一个谐振频率为  $\frac{2\pi}{N}k$  的无耗谐振器。这些并联谐振器的极点正好各自抵消一个梳状滤波器的零点, 从而使在这个频率点上的响应等于  $H(k)$ 。

由这样两部分级联起来后, 就得到图3.16所示的总结构。这个结构的特点是它的系数  $H(k)$  直接就是滤波器在  $\omega = \frac{2\pi}{N}k$  处的响应。因此控制滤波器的响应是很直接的。

图3.16 频率采样型

4.3 FIR滤波器的结构 9/27/2022 20

---

---

---

---

---

---

---

---

但是这个结构有两个主要的缺点:

- 一 是所有的相乘系数  $W_N^{-k}$ ,  $H(k)$  都是复数, 乘起来较麻烦;
- 二 是所有谐振器的极点都在单位圆上, 考虑到系数量化的影响, 有些极点实际上是不能与梳状滤波器的零点相抵消的, 这样, 系统是不稳定的。

为了克服这个缺点, 首先我们做一点修正, 将所有的谐振器的极点从单位圆向内收缩一点, 使它处在一个靠近单位圆但半径比单位圆小 ( $r < 1$ ) 的圆上, 同时, 梳状滤波器的零点也移到  $r$  圆上, 也即将频率采样由单位圆移到修正半径圆上, 如图3.17。这时

$$H(z) = \frac{(1 - r^N z^{-N})}{N} \sum_{k=0}^{N-1} \frac{H_r(k)}{1 - r W_N^{-k} z^{-1}}$$

其中  $H_r(k)$  是修正点上的采样值, 但由于修正半径  $r \approx 1$ , 因此  $H_r(k) \approx H(k)$

即  $H_r(k) = H(z) \Big|_{z=rW_N^{-k}} = H(rW_N^{-k}) \approx H(W_N^{-k}) = H(k)$

4.3 FIR滤波器的结构 9/25/2012 11:24 21

---

---

---

---

---

---

---

---

因此  $H(z) \approx (1-r^N z^{-N}) \frac{1}{N} \sum_{k=0}^{N-1} \frac{H(k)}{1-rW_N^k z^{-1}} \quad (3-13)$

另外，为了使系数为实数，可以将谐振器的共轭根合并，这些共轭根在圆周上是对称的。即  $W^{(N-k)} = W^k = W^{*-k}$

同时，如果  $h(n)$  是实数的话，我们在第二章2.2节中已经讨论过，它的DFT也是周期共轭对称的（见表2-1；7）。

$$H(k) = H^*(N-k), \quad k=1, 2, \dots, N-1$$

因此，可以将第  $k$  及第  $N-k$  个谐振器合并为一个二阶网络：

$$H_k(z) \approx \frac{H(k)}{1-rW_N^k z^{-1}} + \frac{H(N-k)}{1-rW_N^{(N-k)} z^{-1}} = \frac{H(k)}{1-rW_N^k z^{-1}} + \frac{H^*(k)}{1-rW_N^{*-k} z^{-1}}$$

$$= \frac{\alpha_{0k} + \alpha_{1k} z^{-1}}{1 - z^{-1} 2r \cos\left(\frac{2\pi k}{N}\right) + r^2 z^{-2}} \quad 0 < k < N/2 \quad (3-14)$$

其中  $\begin{cases} \alpha_{0k} = 2\operatorname{Re}[H(k)] \\ \alpha_{1k} = -2r \operatorname{Re}[H(k)W_N^k] \end{cases} \quad (3-15)$

4.3 FIR滤波器的结构 9/27/2022 22

---

---

---

---

---

---

---

---

---

---

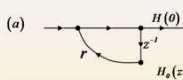
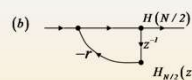
这个二阶网络是一个有限Q值的谐振器。谐振频率为  $\omega_k = \frac{2\pi}{N}k$ ，结构如右图3.18

除了共轭复根外，尚有实根。当  $N$  为偶数时，有一对实根，它们分别为  $z = \pm r$ ，因此尚有两个对应的一阶网络：

$$H_0(z) = \frac{H(0)}{1-rz^{-1}} \quad (3-16)$$

$$H_{N/2}(z) = \frac{H(N/2)}{1+rz^{-1}} \quad (3-17)$$

其结构如下图所示。当  $N$  为奇数时，只有一个实根  $z=r$ ，因此相对应只有一个一阶网络  $H_0(z)$

(a)  (b) 

4.3 FIR滤波器的结构 9/27/2022 23

---

---

---

---

---

---

---

---

---

---

这样就可以得到改进后的总结构。  $N$  为偶数时

$$H(z) = (1-r^N z^{-N}) \frac{1}{N} \left[ \frac{H(0)}{1-rz^{-1}} + \frac{H(N/2)}{1+rz^{-1}} + \sum_{k=1}^{N/2-1} \frac{\alpha_{0k} + \alpha_{1k} z^{-1}}{1 - z^{-1} 2r \cos\left(\frac{2\pi k}{N}\right) + r^2 z^{-2}} \right]$$

$$= (1-r^N z^{-N}) \frac{1}{N} \left[ H_0(z) + H_{N/2}(z) + \sum_{k=1}^{N/2-1} H_k(z) \right] \quad (3-18)$$

但是，  $N$  为奇数时

$$H(z) = (1-r^N z^{-N}) \frac{1}{N} \left[ \frac{H(0)}{1-rz^{-1}} + \sum_{k=1}^{N/2-1} \frac{\alpha_{0k} + \alpha_{1k} z^{-1}}{1 - z^{-1} 2r \cos\left(\frac{2\pi k}{N}\right) + r^2 z^{-2}} \right]$$

$$= (1-r^N z^{-N}) \frac{1}{N} \left[ H_0(z) + \sum_{k=1}^{N/2-1} H_k(z) \right] \quad (3-19)$$

4.3 FIR滤波器的结构 9/27/2022 24

---

---

---

---

---

---

---

---

---

---



为偶数时，其总结构如图3.20，在谐振器柜中，两端两个是一阶的，其余中间的都是二阶的，其内部结构分别见图3.18和图3.19。

但是当 $N$ 为奇数时，最后一个一阶网络 $H_{N/2}(z)$ 就不必要了。

这种结构我们可以看到，既有递归部分——谐振器柜，也有非递归部分——梳状滤波器。

一般看，频率采样的结构比较复杂，所需的存储器及乘法器也比较多。但是在以下几种情况下，使用频率采样结构却可以带来一定的好处。

如果多数采样值 $H(k)$ 为零，例如在窄带低通滤波器的情况下，这时谐振器柜中只剩下少数几个所需要的谐振器，因而可以比直接法少用乘法器，但存储器还是要比直接法用得更多一些。

图3.20 频率采样总结构

4.3 FIR滤波器的结构 9/27/2022 25

---

---

---

---

---

---

---

---

在有些情况下，信号处理需要同时使用很多并列的滤波器。例如在信号频谱分析中，要求同时将信号的各种频率分量分别滤出来，这是这些并列的滤波器可以采用频率采样结构。并且可以大家公用一个梳状滤波器及谐振器柜，只要将各谐振器的输出适当加权组合就能组成各所需滤波器，这样的结构就有很大的经济性。

频率采样的结构还有一个本身的特点，就是它的每个部分都具有很高的规范性。只要改变二阶谐振节中的系数 $\alpha_{0k}, \alpha_{1k}$ 及一阶节中的 $H(0), H(N/2)$ 就可以构成不同的滤波器，而不用改变整个结构以及其它各系数，因此做频分复用时有一定好处。

4.3 FIR滤波器的结构 9/27/2022 26

---

---

---

---

---

---

---

---